

## "ДРОБНЫЕ" КВАДРУПОЛЬНЫЕ СПИНОВЫЕ ЭХО В ЯМР МАГНИТОУПОРЯДОЧЕННЫХ ВЕЩЕСТВ

*Г.Н.Абеляшев, В.Н.Бержанский, Н.А.Сергеев,  
Ю.В.Федотов*

Обнаружен дополнительный сигнал спинового эха от квадрупольных ядер с  $I = 3/2$  (ядра  $^{53}\text{Cr}$  в  $\text{CdCr}_2\text{Se}_4$ ), возникающий в момент времени  $t = \frac{5}{2}\tau$ . Показано, что частотная зависимость амплитуды дробного эха отражает только квадрупольную структуру спектра ЯМР.

В ядерных спиновых системах с  $I \geq 1$  возможно индуцирование, помимо основного сигнала эха в момент времени  $2\tau$ , дополнительных эхо-сигналов, возникающих в момент времени кратные  $\tau$ :  $3\tau$ ,  $4\tau$  и т. д. ( $\tau$  – временной интервал между радиочастотными (РЧ) импульсами)<sup>1–3</sup>. В<sup>4</sup> показано, что для квадрупольных ядер с  $I = 3/2$  частотная зависимость амплитуды эха на  $4\tau$  отражает только магнитные сверхтонкие взаимодействия (СТВ) ядер, в то время как спектр основного эха на  $2\tau$  определяется как квадрупольными, так и магнитными СТВ. В данной работе представлены экспериментальные результаты по обнаружению и исследованию дробного сигнала эха от ядер с  $I = 3/2$ , возникающего в момент времени  $t = \frac{5}{2}\tau$ . Ранее сигналы дробного эха были предсказаны и исследованы в диамагнитных кристаллах только для ядер с  $I = 5/2$ ,  $7/2$ <sup>1, 5</sup>.

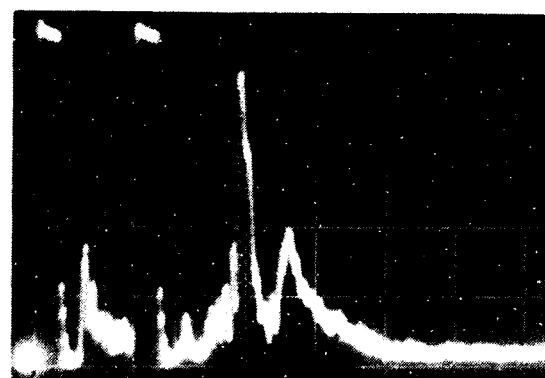
Спиновое эхо в момент времени  $t = \frac{5}{2}\tau$  (рис. 1) наблюдалось на ядрах  $^{53}\text{Cr}$  ( $I = 3/2$ ) в магнитном полупроводнике  $\text{CdCr}_2\text{Se}_4$  при  $T = 4,2$  К и  $T = 77$  К. Сигналы эхо регистрировались как от ядер в доменах, так и от ядер в доменных границах. Эхо от ядер в доменах (рис. 1a) наблюдались на частотах, соответствующих квадрупольным линиям (спектроскопические переходы  $\pm 3/2 \leftrightarrow \pm 1/2$ ) в спектре ЯМР  $V_{2\tau}(\nu)$  (рис. 2a)<sup>6</sup>. Внутриграниценный сигнал эха на  $\frac{5}{2}\tau$  наблюдался в пределах всего спектра ЯМР  $V_{2\tau}(\nu)$ . Для наблюдения дробного эха необходимо, чтобы длительность первого РЧ-импульса  $t_1$  превышала длительность второго импульса  $t_2$ . При заданной длительности импульсов, амплитуды РЧ импульсов должны быть больше амплитуды РЧ импульсов, требуемых для формирования максимального сигнала эха на  $2\tau$ . При этом с увеличением квадрупольного расщепления спектра ЯМР максимум дробного эха достигается при больших амплитудах РЧ импульсов. В отличие от сигналов  $V_{2\tau}$  и  $V_{4\tau}$  сигнал эха  $V_{\frac{5}{2}\tau}$  наблюдается только при малых задержках между возбуждающими РЧ импульсами. С увеличением  $\tau$  дробное эхо резко уширяется и затухает с временем  $T_2^*$ , характеризующим неоднородное уширение спектра ЯМР. В  $\text{CdCr}_2\text{Se}_4$  эхо на  $\frac{5}{2}\tau$  наблюдается только при  $\tau \leq 60$  мкс. На рис. 2б приведен спектр ЯМР  $V_{\frac{5}{2}\tau}(\nu)$  в  $\text{CdCr}_2\text{Se}_4$ , полученный с помощью эха на  $\frac{5}{2}\tau$ . Анализ спектров ЯМР  $V_{\frac{5}{2}\tau}(\nu)$  и  $V_{2\tau}(\nu)$  с привлечением значений констант СТВ<sup>7</sup>, показывает, что в то время как спектр сигнала эха на  $2\tau$  определяется как квадрупольными, так и магнитными СТВ, эхо на  $\frac{5}{2}\tau$  отражает только квадрупольную структуру спектра ЯМР.

Наблюдаемые особенности формирования и поведения дробного эха от ядер с  $I = 3/2$  качественно можно объяснить следующим образом. Момент появления спинового эха  $t_3$  от квадрупольного ядра с  $I > 1$  определяется выражением<sup>1, 6</sup>

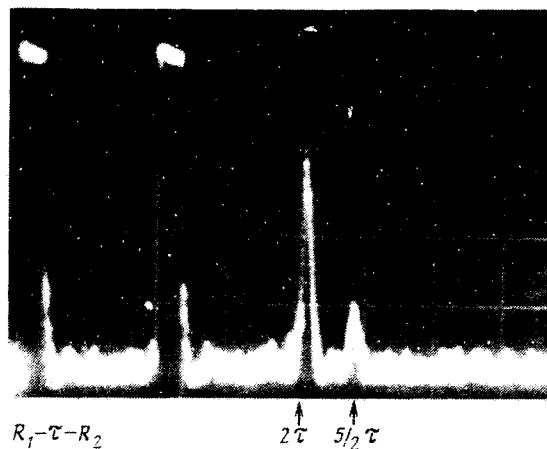
$$t_3 = \tau \left[ 1 + \frac{\nu_q(m' + m'') - \Delta}{(2m + 1)\nu_q - \Delta} (m' - m'') \right], \quad (1)$$

где  $\nu_q$  – константа квадрупольного взаимодействия ядра,  $\Delta = \nu_{\text{РЧ}} - \nu_0$ ,  $\nu_{\text{РЧ}}$  – частота выполнения РЧ импульсов,  $\nu_0$  – ларморовская частота ядра, определяемая в магнитоуп-

рядоченных веществах магнитным сверхтонким полем <sup>8</sup>;  $m, m', m''$  – квантовые числа, характеризующие проекцию спина ядра на направление сверхтонкого поля.



*a*



*b*

Рис. 1. Осциллограммы сигналов обычного эха  $V_{2\tau}$  и дополнительного эха  $V_{5/2\tau}$  в  $\text{CdCr}_2\text{Se}_4$  при 4,2 К.  $t_1 = 2 \text{ мкс}$ ,  $t_2 = 1 \text{ мкс}$ ,  $U_{\text{РЧ}} = 1800 \text{ В}$ : *a* – сигналы эхо от ядер в доменах (высокочастотный квадрупольный сателлит)  $\tau = 14 \text{ мкс}$ ; *b* – сигналы эхо от ядер в доменной границе.  $v = 42,1 \text{ МГц}$   $\tau = 20 \text{ мкс}$ . Масштаб по горизонтали – 10 мкс/дел.

Из (1) следует, что для ядра с  $I = 3/2$  эхо в момент времени  $t_3 = 5/2\tau$  возникает только при условии, что частота заполнения РЧ-импульсов совпадает с частотой квадрупольных сателлитов спектра ЯМР ( $\Delta = \pm 2\nu_q$ ). При этом, если  $\Delta = +2\nu_q$ , то  $m = -3/2$ ,  $m'' = -3/2$ ,  $m' = 1/2$  и если  $\Delta = -2\nu_q$ , то  $m = 1/2$ ,  $m' = 3/2$ ,  $m'' = -1/2$ . Амплитуда эха на  $5/2\tau$  определяется следующим матричным элементом оператора матрицы плотности  $\rho(\tau+t)$ , описывающей эволюцию ядерной спиновой системы

$$\left\langle \frac{1}{2} | R_2 | \frac{3}{2} \right\rangle \left\langle \frac{3}{2} | R_1 I_z R_1^{-1} | -\frac{1}{2} \right\rangle \left\langle -\frac{1}{2} | R_2 | \frac{3}{2} \right\rangle. \quad (2)$$

Здесь  $R_1$  и  $R_2$  операторы, описывающие действия РЧ импульсов длительностью  $t_i$  ( $i = 1, 2$ );  $R_i = \exp(i \mathcal{H}_1 t_i)$ ,

$$\mathcal{H}_1 = -\Delta I_z + \nu_q I_z^2 - \nu_1 I_x, \quad (3)$$

$\nu_1$  — амплитуда РЧ поля на ядре.

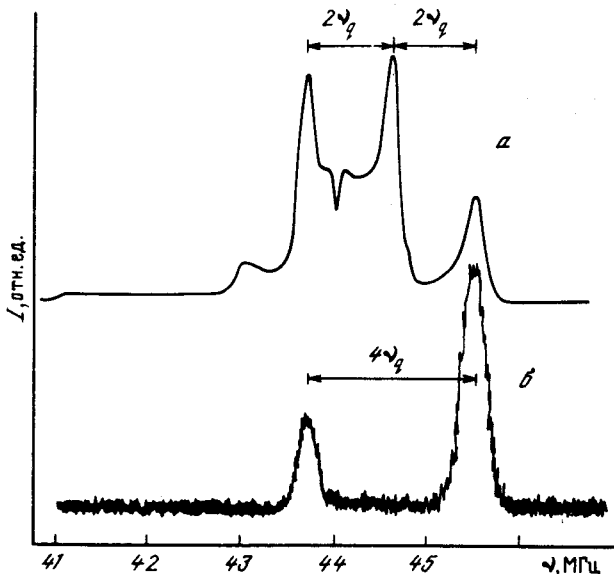


Рис. 2. Спектры ЯМР  $^{53}\text{Cr}$  в  $\text{CdCr}_2\text{Se}_4$ :  $a$  —  $V_{2\tau}(\nu)$ ,  $t_1 = 4$  мкс,  $t_2 = 8$  мкс,  $\tau = 100$  мкс,  $U_{\text{РЧ}} = 50$  В;  $b$  — внутридоменный спектр  $V_{5/2\tau}(\nu)$ ,  $t_1 = 2$  мкс,  $t_2 = 1$  мкс,  $\tau = 60$  мкс,  $U_{\text{РЧ}} = 1800$  В.  $U_{\text{РЧ}}$  — амплитуда РЧ импульсов

Если  $\nu_1 \gg \nu_q$ , то операторы  $R_i$  действуют как операторы поворота ядерного спина вокруг эффективного поля на ядре во вращающейся системе координат. В этом случае  $R_1 I_z R_1^{-1} = \alpha I_x + \beta I_y + \gamma I_z$  и следовательно  $\left\langle \frac{3}{2} | R_1 I_z R_1^{-1} | -\frac{1}{2} \right\rangle = 0$ . С другой стороны, если  $\nu_1 \ll \nu_q$ , то операторы  $R_i$  практически не воздействуют на ядерную спиновую систему ( $[\mathcal{H}_1, I_z] \approx 0$ ) и  $V_{5/2\tau}$  вновь будет равно нулю. Таким образом, следует ожидать, что амплитуда дробного эха отлична от нуля только в том случае, когда  $\nu_1 \approx \nu_q$ . С увеличением квадрупольного расщепления спектра ЯМР, то есть с увеличением  $\nu_q$ , для достижения максимального сигнала эха необходимо увеличивать амплитуду РЧ импульсов, добиваясь удовлетворения условия  $\nu_1 \approx \nu_q$ .

В реальных магнитоупорядоченных веществах из-за разброса электрических и магнитных СТВ различные изохроматы ядер будут иметь различные  $\nu_q$  и  $\nu_0$  (неоднородное уширение)

<sup>8</sup>. Обозначим через  $\bar{\nu}_q$  и  $\bar{\Delta}$  – средние значения константы квадрупольного СТВ и расстройки  $\bar{\Delta} = \nu_{pq} - \bar{\nu}_0$ , а через  $\delta\nu_q^j$  и  $\delta\Delta^j$  – отклонения  $\nu_q^j$  и  $\Delta^j$  от этих средних значений (индекс  $j$  нумерует различные изохроматы). Тогда для любой  $j$ -ой изохроматы из (1) при  $\bar{\Delta} = \pm 2\bar{\nu}_q$  имеет при соответствующих  $t$ ,  $t'$  и  $t''$

$$t_3 = \frac{5}{2}\tau + \Delta t^j, \quad (4)$$

где

$$\Delta t^j \approx \tau \frac{\delta\Delta^j + \delta\nu_q^j}{\bar{\nu}_q}. \quad (5)$$

Из (4) и (5) следует, что сдвиг максимума эха для  $j$ -ой изохроматы от значения  $t = 5/2\tau$  будет тем меньше, чем меньше  $\tau$ . С увеличением  $\tau$  различные изохроматы будут "собираться" в различные времена, что эффективно проявится в уширении сигнала эха и уменьшении его амплитуды. Поскольку разброс  $\sum |\delta\Delta^j + \delta\nu_q^j| \sim (T_2^*)^{-1}$ , то из (4) и (5) следует, что с увеличением  $\tau$  амплитуда эха на  $5/2\tau$ , в отличие от эха на  $2\tau$ , будет затухать с временем  $T_2^*$ . Из аналогичных рассуждений следует также вывод, что если  $\bar{\Delta} = \pm 2\nu_q + \xi (\xi \sim 1/T_2^*)$ , то максимум эха сдвигается от точки  $t_3 = 5/2\tau$  в сторону меньших ( $\xi < 0$ ) или больших ( $\xi > 0$ ) времен, что также наблюдается на эксперименте.

Таким образом, проведенное рассмотрение позволяет объяснить все основные наблюдаемые особенности формирования дробного эха от квадрупольного ядра с  $I = 3/2$ .

### Литература

1. Solomon I. Phys. Rev., 1958, **110**, 61.
2. Abe H., Yasuoka H., Hirai A. J. Phys. Soc. Jap., 1966, **21**, 77.
3. Цифринович В.И. ЖЭТФ, 1988, **94**, 208.
4. Абеляшев Г.Н., Бержанский В.Н., Сергеев Н.А., Федотов Ю.В. Письма в ЖЭТФ, 1985, **42**, 453.
5. Schoep G.K., v.d. Valk H.J., Frijters G.A.M. et al. Physica, 1974, **77**, 449.
6. Абеляшев Г.Н., Бержанский В.Н., Сергеев Н.А., Федотов Ю.В. ЖЭТФ, 1988, **94**, 227.
7. Абеляшев Г.Н., Рябченко С.М., Федотов Ю.В. Тез. XVII Всесоюз. конференции по физике магнитных явлений. Донецк, 1985, 199.
8. Туров Е.А., Петров М.П. Ядерный магнитный резонанс в ферро- и антиферромагнетиках. М.: Наука, 1969.

Симферопольский государственный университет им. М.В. Фрунзе

Институт физики Академии наук Украинской ССР

Поступила в редакцию  
9 ноября 1988 г.